

## Esercizi di riepilogo sull'analisi dei sistemi non lineari

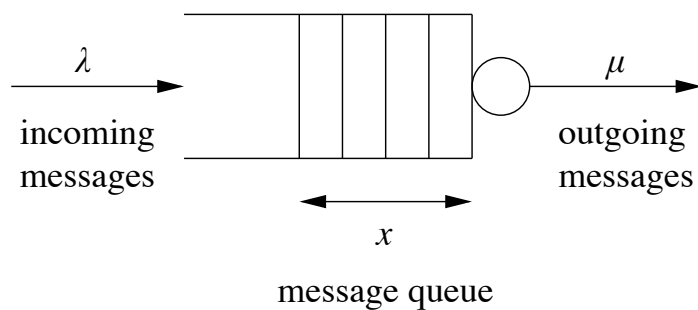
### Esercizio 1

Si consideri un sistema non lineare tempo continuo descritto dall'equazione differenziale:

$$\begin{cases} \dot{x}_1(t) = x_1^3(t) + x_2(t) \\ \dot{x}_2(t) = -x_1^3(t) + x_2^3(t) \\ y(t) = 2x_1(t) \end{cases}$$

- a) Si calcolino i punti di equilibrio del sistema;
- b) Si studi la stabilità degli equilibri.

## Esercizio 2



La dinamica di una coda in un server può essere descritta da un sistema non lineare del tipo

$$\dot{x} = \lambda - \mu_{\max} \frac{x}{x+1}$$

con  $x$  lunghezza media della coda,  $\lambda > 0$  tasso di messaggi in ingresso,  $\mu_{\max} > 0$  tasso massimo con cui i messaggi vengono serviti,  $x/(x+1)$  effettivo tasso di servizio in funzione della dimensione della coda.

- Si calcolino i punti di equilibrio del sistema per  $x > 0$  al variare dei parametri  $\lambda$  e  $\mu_{\max}$ .
- Si studi la stabilità dei punti di equilibrio.

### Esercizio 3

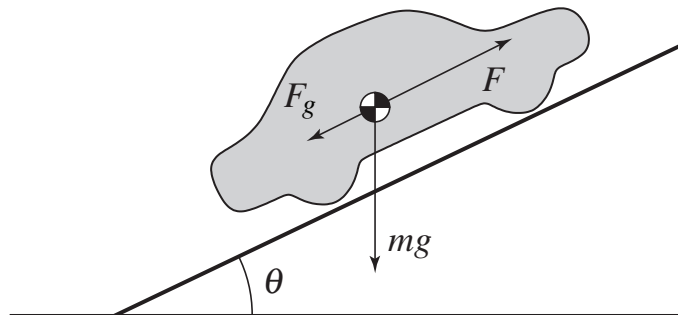
Come visto, la dinamica di un ecosistema in cui interagiscono due specie animali può essere descritta in prima approssimazione tramite le equazioni di Lotka-Volterra, note anche come equazioni o modello preda-predatore:

$$\begin{cases} \dot{x}_1(t) &= \alpha x_1(t) - \beta x_1(t) x_2(t) \\ \dot{x}_2(t) &= -\delta x_2(t) + \gamma x_1(t) x_2(t) \end{cases}$$

con  $\alpha > 0$ ,  $\beta > 0$ ,  $\delta > 0$  e  $\gamma > 0$  costanti opportune, dove  $x_1(t)$  rappresenta la popolazione della specie preda al tempo  $t$ , mentre  $x_2(t)$  rappresenta la popolazione della specie predatore al tempo  $t$ . Si supponga per semplicità  $\alpha = 1$ ,  $\beta = 1$ ,  $\delta = 1$  e  $\gamma = 1$ .

- a) Si calcolino i punti di equilibrio del sistema.
- b) Si studi la stabilità dei punti di equilibrio.

#### Esercizio 4



Si consideri il problema del controllo della velocità  $v$  (cruise control) di un veicolo di massa  $m$ . La dinamica della velocità  $v$  in funzione dell'apertura  $u$  della valvola del motore e della pendenza  $\theta$  della strada è del tipo

$$\dot{v} = -(\alpha + \beta \sin(\theta)) - \gamma v^2 + \delta u$$

dove la costante  $\alpha > 0$  tiene conto dell'attrito,  $\beta > 0$  tiene conto dell'effetto della forza di gravità,  $\gamma$  tiene conto della componente aerodinamica e  $\delta > 0$  esprime la relazione tra l'apertura della valvola e l'accelerazione impressa al veicolo.

- a) Si calcolino i punti di equilibrio del sistema al variare di  $u$  e  $\theta$ .
- b) Si studi la stabilità dei punti di equilibrio.

### Esercizio 5

Si consideri la dinamica di un virus informatico in una rete di computer. Sia  $a \geq 0$  la frazione di computer infetti e sia  $K > 0$  il numero di computer vulnerabili che possono essere infettati da ciascun computer infetto nell'unità di tempo. Poiché il numero di computer vulnerabili è  $1 - a$ , la dinamica del virus è del tipo

$$\dot{a} = K a (1 - a)$$

a) Si calcolino i punti di equilibrio del sistema.

b) Si studi la stabilità dei punti di equilibrio.

Supponendo ora che i computer infetti possano essere immunizzati mediante un anti-virus con un rate  $\gamma$  tale che  $0 < \gamma < K$  la dinamica diventa del tipo

$$\begin{aligned}\dot{a} &= K a (1 - a - r) - \dot{r} \\ \dot{r} &= \gamma a\end{aligned}$$

dove  $r$  indica la frazione di computer immunizzati.

c) Si calcolino i punti di equilibrio del sistema così modificato.

d) Se ne studi la stabilità.

## Esercizio 6

Molti sistemi biologici, ad esempio le reti di neuroni, possono essere rappresentati come oscillatori accoppiati. Il modello più semplice per due oscillatori accoppiati è del tipo

$$\begin{aligned}\dot{\theta}_1 &= \omega + K \sin(\theta_2 - \theta_1) \\ \dot{\theta}_2 &= \omega + K \sin(\theta_1 - \theta_2)\end{aligned}$$

dove  $\theta_1$  e  $\theta_2$  indicano le fasi dei due oscillatori,  $\omega$  la loro frequenza di oscillazione, e  $K > 0$  l'intensità dell'accoppiamento.

- a) Si calcolino i punti di equilibrio del sistema.
- b) Si studi la stabilità dei punti di equilibrio.
- c) Si consideri ora lo sfasamento tra i due oscillatori  $\varphi = \theta_1 - \theta_2$ . La dinamica dello sfasamento si ottiene a partire dalle dinamiche di  $\theta_1$  e  $\theta_2$  e risulta essere

$$\dot{\varphi} = \dot{\theta}_1 - \dot{\theta}_2 = K \sin(\theta_2 - \theta_1) - K \sin(\theta_1 - \theta_2) = -2 K \sin(\varphi)$$

Si calcolino i punti di equilibrio del nuovo sistema così ottenuto.

- d) Si studi la stabilità degli equilibri al punto c).

# Soluzioni

## Esercizio 1

a) Si calcolano gli equilibri risolvendo il sistema

$$\begin{cases} 0 = x_1^3 + x_2 \\ 0 = -x_1^3 + x_2^3 \\ y = 2x_1 \end{cases}$$

Dalla seconda equazione si trova  $x_1 = x_2$ . Imponendo tale eguaglianza, la prima equazione diventa  $x_1^3 + x_1 = x_1(x_1^2 + 1) = 0$  che ha come unica soluzione  $x_1 = 0$ . Quindi il sistema non lineare ammette un unico equilibrio dato da  $x_e = (0, 0)$  e  $y_e = 0$ .

b) Per studiare la stabilità di questo equilibrio, calcoliamo la matrice  $A_e$  del sistema linearizzato attorno all'origine. Si ha  $f_1(x) = x_1^3 + x_2$  e  $f_2(x) = -x_1^3 + x_2^3$ , quindi

$$A_e = \frac{\partial f}{\partial x} \Big|_{x=0} = \left[ \begin{array}{cc} \frac{\partial f_1}{\partial x_1} & \frac{\partial f_1}{\partial x_2} \\ \frac{\partial f_2}{\partial x_1} & \frac{\partial f_2}{\partial x_2} \end{array} \right] \Big|_{x=0} = \begin{bmatrix} 0 & 1 \\ 0 & 0 \end{bmatrix}$$

La matrice  $A_e$  ha quindi un autovalore in 0 di molteplicità 2. Siamo dunque nel caso critico (non tutti gli autovalori hanno parte reale  $< 0$  ma non ci sono autovalori con parte reale  $> 0$ ). Quindi, non si possono trarre conclusioni circa la stabilità con il metodo di linearizzazione.

## Esercizio 2

- a) In questo caso il sistema ha una sola variabile di stato, la lunghezza della coda  $x$ , e una sola variabile di ingresso  $u = \lambda$  tasso di messaggi in ingresso. Risulta quindi

$$\dot{x} = f(x, u) \quad \text{con} \quad f(x, u) = u - \mu_{\max} \frac{x}{x+1}$$

I punti di equilibrio sono tutte e solo le coppie  $(x_e, u_e)$  tali che  $f(x_e, u_e) = 0$ . In questo caso

$$\begin{aligned} f(x_e, u_e) = 0 &\iff u_e - \mu_{\max} \frac{x_e}{x_e + 1} = 0 \iff u_e(x_e + 1) - \mu_{\max} x_e = 0 \\ &\iff x_e = \frac{u_e}{\mu_{\max} - u_e} = \frac{\lambda}{\mu_{\max} - \lambda} \end{aligned}$$

Notiamo che solo quando  $0 < \lambda < \mu_{\max}$  lo stato di equilibrio  $x_e$  è  $> 0$  e quindi corrisponde ad un valore compatibile con il valore fisico della lunghezza della coda. Per  $\lambda = \mu_{\max}$  non ho nessun stato di equilibrio e quando  $\lambda > \mu_{\max}$  ho uno stato di equilibrio  $x_e < 0$  non compatibile con il valore fisico della lunghezza della coda.

- b) Considero solo il caso  $x_e > 0$  compatibile con il valore fisico della lunghezza della coda. Per studiare la stabilità locale di un punto di equilibrio  $(x_e, u_e)$  devo linearizzare il sistema nell'intorno di  $(x_e, u_e)$  calcolando  $A_e = \left. \frac{\partial f}{\partial x} \right|_{x=x_e, u=u_e}$ . In questo caso

$$A_e = \left. \frac{\partial f}{\partial x} \right|_{x=x_e, u=u_e} = -\mu_{\max} \frac{1}{(x+1)^2} \bigg|_{x=\lambda/(\mu_{\max}-\lambda), u=\lambda} = -\frac{(\mu_{\max} - \lambda)^2}{\mu_{\max}}$$

Poiché  $\mu_{\max} > 0$  si vede che  $A_e$  risulta sempre  $< 0$ . Di conseguenza il sistema linearizzato risulta asintoticamente stabile, e quindi tali punti di equilibrio sono tutti localmente asintoticamente stabili.



### Esercizio 3

a) Riscrivendo le equazioni nella forma

$$\begin{cases} \dot{x}_1(t) = x_1(t)(1 - x_2(t)) \\ \dot{x}_2(t) = -x_2(t)(1 - x_1(t)) \end{cases}$$

è facile verificare che il sistema ammette due punti d'equilibrio

$$x_{e1} = \begin{pmatrix} 0 \\ 0 \end{pmatrix}, \quad x_{e2} = \begin{pmatrix} 1 \\ 1 \end{pmatrix}$$

b) Si ha

$$f(x) = \begin{pmatrix} x_1 - x_1x_2 \\ x_1x_2 - x_2 \end{pmatrix} \implies \frac{\partial f}{\partial x} = \begin{pmatrix} 1 - x_2 & -x_1 \\ x_2 & -1 + x_1 \end{pmatrix}$$

Per l'equilibrio  $x_{e1}$  si ha

$$\left. \frac{\partial f}{\partial x} \right|_{x=x_{e1}} = \begin{pmatrix} 1 & 0 \\ 0 & -1 \end{pmatrix}$$

che ha un autovalore a parte reale  $> 0$ . Pertanto l'equilibrio  $x_{e1}$  risulta instabile.

Per l'equilibrio  $x_{e2}$  si ha

$$\left. \frac{\partial f}{\partial x} \right|_{x=x_{e2}} = \begin{pmatrix} 0 & -1 \\ 1 & 0 \end{pmatrix}$$

che ha una coppia di autovalori puramente immaginari  $\pm j$ . Di conseguenza non si possono trarre conclusioni circa l'equilibrio  $x_{e2}$ . Utilizzando metodi di analisi più avanzati si potrebbe verificare che l'equilibrio  $x_{e2}$  è marginalmente stabile e le due popolazioni tendono ad oscillare periodicamente intorno a tale equilibrio senza però convergere ad esso.

## Esercizio 4

- a) In questo caso il sistema ha una sola variabile di stato, la velocità  $x = v$ , e una sola variabile di ingresso  $u$  apertura della valvola del motore. Risulta quindi

$$\dot{x} = f(x, u) \quad \text{con } f(x, u) = -(\alpha + \beta \sin \theta) - \gamma x^2 + \delta u$$

I punti di equilibrio sono tutte e solo le coppie  $(x_e, u_e)$  tali che  $f(x_e, u_e) = 0$ . In questo caso

$$f(x_e, u_e) = 0 \iff -(\alpha + \beta \sin \theta) - \gamma x_e^2 + \delta u_e = 0 \iff \gamma x_e^2 = \delta u_e - (\alpha + \beta \sin \theta)$$

Occorre dunque distinguere due casi. Se  $\delta u_e < (\alpha + \beta \sin \theta)$  l'equazione non ha soluzioni e quindi non ci sono punti di equilibrio. Se invece  $\delta u_e > (\alpha + \beta \sin \theta)$  ci sono due stati di equilibrio

$$x_e = \pm \sqrt{\frac{\delta u_e - (\alpha + \beta \sin \theta)}{\gamma}}$$

- b) Considero solo il caso  $\delta u_e > (\alpha + \beta \sin \theta)$  perché altrimenti non ci sono punti di equilibrio. Per studiare la stabilità locale di un punto di equilibrio  $(x_e, u_e)$  devo linearizzare il sistema nell'intorno di  $(x_e, u_e)$  calcolando  $A_e = \left. \frac{\partial f}{\partial x} \right|_{x=x_e, u=u_e}$ . In questo caso

$$A_e = \left. \frac{\partial f}{\partial x} \right|_{x=x_e, u=u_e} = -2\gamma x|_{x=x_e, u=u_e} = -2\gamma x_e$$

Occorre quindi distinguere due casi. Per velocità di equilibrio positive  $x_e = \sqrt{\frac{\delta u_e - (\alpha + \beta \sin \theta)}{\gamma}}$  si ha

$$A_e = -2\gamma \sqrt{\frac{\delta u_e - (\alpha + \beta \sin \theta)}{\gamma}} < 0$$

Di conseguenza, nei punti di equilibrio per velocità positive, il sistema linearizzato risulta asintoticamente stabile, e quindi tali punti di equilibrio sono localmente asintoticamente stabili.

Per velocità di equilibrio negative  $x_e = -\sqrt{\frac{\delta u_e - (\alpha + \beta \sin \theta)}{\gamma}}$  si ha invece

$$A_e = 2\gamma \sqrt{\frac{\delta u_e - (\alpha + \beta \sin \theta)}{\gamma}} > 0$$

Di conseguenza, nei punti di equilibrio per velocità negative, il sistema linearizzato risulta esponenzialmente instabile, e quindi tali punti di equilibrio sono instabili.

## Esercizio 5

- a) In questo caso il sistema ha una sola variabile di stato  $x = a$ , frazione di computer infetti, e non ci sono ingressi. Risulta quindi

$$\dot{x} = f(x) \quad \text{con } f(x) = Kx(1-x)$$

I punti di equilibrio sono tutti e soli gli stati  $x_e$  tali che  $f(x_e) = 0$ . In questo caso

$$f(x_e) = 0 \iff Kx_e(1-x_e) = 0$$

Ci sono dunque solo due punti di equilibrio:  $x_e = 0$  e  $x_e = 1$ .

- b) Per studiare la stabilità locale di un punto di equilibrio  $x_e$  devo linearizzare il sistema nell'intorno di  $x_e$  calcolando  $A_e = \left. \frac{\partial f}{\partial x} \right|_{x=x_e}$ . In questo caso

$$A_e = \left. \frac{\partial f}{\partial x} \right|_{x=x_e} = K - 2Kx_e$$

Poiché  $K > 0$  si vede che per il punto di equilibrio  $x_e = 0$  (corrispondente al caso in cui non c'è infezione nella rete) si ha  $A_e = K > 0$ . Di conseguenza, il sistema linearizzato risulta esponenzialmente instabile e quindi tale punto di equilibrio è instabile.

Viceversa per il punto di equilibrio  $x_e = 1$  (corrispondente al caso in cui tutti i computer sono infetti) si ha  $A_e = -K < 0$ . Di conseguenza, il sistema linearizzato risulta asintoticamente stabile e quindi tale punto di equilibrio è localmente asintoticamente stabile.

- c) Scegliendo come stato

$$x = \begin{bmatrix} x_1 \\ x_2 \end{bmatrix} = \begin{bmatrix} a \\ r \end{bmatrix}$$

si ha

$$\begin{aligned} \dot{x}_1 &= \dot{y} = Kx_1(1-x_1-x_2) - \dot{x}_2 = Kx_1(1-x_1-x_2) - \gamma x_1 \\ \dot{x}_2 &= \gamma x_1 \end{aligned}$$

Di conseguenza le equazioni di stato del sistema sono

$$\dot{x} = f(x) \quad \text{con } f(x) = \begin{bmatrix} f_1(x) \\ f_2(x) \end{bmatrix} = \begin{bmatrix} Kx_1(1-x_1-x_2) - \gamma x_1 \\ \gamma x_1 \end{bmatrix}$$

I punti di equilibrio sono tutti e soli i vettori  $x_e$  tali che  $f(x_e) = 0$ . In questo caso

$$f(x_e) = 0 \iff \begin{cases} Kx_{e,1}(1-x_{e,1}-x_{e,2}) - \gamma x_{e,1} = 0 \\ \gamma x_{e,1} = 0 \end{cases} \iff x_{e,1} = 0$$

Quindi i punti di equilibrio sono tutti e soli i vettori del tipo

$$x = \begin{bmatrix} 0 \\ x_{2,e} \end{bmatrix} \quad \text{con } x_{2,e} \in \mathbb{R}$$

Notiamo che ovviamente solo i valori  $x_{2,e} \in [0, 1]$  sono consistenti con il modello essendo  $x_2$  la frazione di computer infetti.

d) Per studiare la stabilità locale di un punto di equilibrio  $x_e$  devo linearizzare il sistema nell'intorno di  $x_e$  calcolando  $A_e = \frac{\partial f}{\partial x} \Big|_{x=x_e}$ . In questo caso poiché ho due variabili di stato

$$\begin{aligned} A_e &= \frac{\partial f}{\partial x} \Big|_{x=x_e} = \left[ \begin{array}{cc} \frac{\partial f_1}{\partial x_1} & \frac{\partial f_1}{\partial x_2} \\ \frac{\partial f_2}{\partial x_1} & \frac{\partial f_2}{\partial x_2} \end{array} \right] \Big|_{x_1=x_{e,1}, x_2=x_{e,2}} \\ &= \left[ \begin{array}{cc} K - \gamma - 2K x_1 - K x_2 & -K x_1 \\ \gamma & 0 \end{array} \right] \Big|_{x_1=0, x_2=x_{2,e}} = \left[ \begin{array}{cc} K - \gamma - K x_{2,e} & 0 \\ \gamma & 0 \end{array} \right] \end{aligned}$$

La matrice  $A_e$  ha quindi come autovalori 0 e  $K - \gamma - K x_{2,e}$ . Occorre distinguere due casi. Quando  $K - \gamma - K x_{2,e} > 0$  uno dei due autovalori ha  $\text{Re} > 0$ , di conseguenza il sistema linearizzato risulta esponenzialmente instabile e il corrispondente punto di equilibrio è instabile.

Quando invece  $K - \gamma - K x_{2,e} < 0$  allora non ci sono autovalori con  $\text{Re} > 0$  ma non tutti gli autovalori hanno  $\text{Re} < 0$ , di conseguenza il metodo di linearizzazione non è sufficiente per concludere sulla stabilità del punto di equilibrio.

## Esercizio 6

a) Scegliendo come stato

$$x = \begin{bmatrix} x_1 \\ x_2 \end{bmatrix} = \begin{bmatrix} \theta_1 \\ \theta_2 \end{bmatrix}$$

si ha

$$\begin{aligned} \dot{x}_1 &= \omega + K \sin(x_2 - x_1) \\ \dot{x}_2 &= \omega + K \sin(x_1 - x_2) \end{aligned}$$

Di conseguenza le equazioni di stato del sistema sono

$$\dot{x} = f(x) \quad \text{con } f(x) = \begin{bmatrix} f_1(x) \\ f_2(x) \end{bmatrix} = \begin{bmatrix} \omega + K \sin(x_2 - x_1) \\ \omega + K \sin(x_1 - x_2) \end{bmatrix}$$

I punti di equilibrio sono tutti e soli i vettori  $x_e$  tali che  $f(x_e) = 0$ . In questo caso

$$f(x_e) = 0 \iff \begin{cases} \omega + K \sin(x_{e,2} - x_{e,1}) = 0 \\ \omega + K \sin(x_{e,1} - x_{e,2}) = 0 \end{cases} \iff \begin{cases} \sin(x_{e,2} - x_{e,1}) = -\omega/K \\ \sin(x_{e,1} - x_{e,2}) = -\omega/K \end{cases}$$

Poiché  $\sin(x_{e,2} - x_{e,1}) = -\sin(x_{e,1} - x_{e,2})$  si vede che quando  $\omega \neq 0$  il sistema non ha soluzioni e quindi non ci sono punti di equilibrio. Quando invece  $\omega = 0$  tutti i valori di  $x_{e,1}$  e  $x_{e,2}$  tali per cui  $\sin(x_{e,1} - x_{e,2}) = 0$  sono punti di equilibrio. Quindi per  $\omega = 0$  tutti i vettori del tipo

$$x = \begin{bmatrix} x_{1,e} \\ x_{1,e} + \ell \pi \end{bmatrix} \quad \text{con } x_{1,e} \in \mathbb{R}, \quad \ell \in \mathbb{Z}$$

sono punti di equilibrio.

b) Considero solo il caso  $\omega = 0$  perché per  $\omega \neq 0$  non ci sono punti di equilibrio. Per studiare la stabilità locale di un punto di equilibrio  $x_e$  devo linearizzare il sistema nell'intorno di  $x_e$  calcolando  $A_e = \left. \frac{\partial f}{\partial x} \right|_{x=x_e}$ .

In questo caso poiché ho due variabili di stato

$$\begin{aligned} A_e &= \left. \frac{\partial f}{\partial x} \right|_{x=x_e} = \left. \begin{bmatrix} \frac{\partial f_1}{\partial x_1} & \frac{\partial f_1}{\partial x_2} \\ \frac{\partial f_2}{\partial x_1} & \frac{\partial f_2}{\partial x_2} \end{bmatrix} \right|_{x_1=x_{e,1}, x_2=x_{e,2}} \\ &= \left. \begin{bmatrix} -K \cos(x_2 - x_1) & K \cos(x_2 - x_1) \\ K \cos(x_1 - x_2) & -K \cos(x_1 - x_2) \end{bmatrix} \right|_{x_1=x_{1,e}, x_2=x_{1,e}+\ell \pi} \\ &= \begin{bmatrix} -K \cos(\ell \pi) & K \cos(\ell \pi) \\ K \cos(-\ell \pi) & -K \cos(-\ell \pi) \end{bmatrix} = K \begin{bmatrix} (-1)^{\ell+1} & (-1)^\ell \\ (-1)^\ell & (-1)^{\ell+1} \end{bmatrix} \end{aligned}$$

Occorre distinguere due casi. Quando  $\ell$  è pari la matrice  $A_e$  diventa

$$A_e = K \begin{bmatrix} -1 & 1 \\ 1 & -1 \end{bmatrix}$$

che ha autovalori  $\lambda_1 = 0$  e  $\lambda_2 = -2K$ . Quindi non essendo il sistema linearizzato asintoticamente stabile né essendoci autovalori con  $\text{Re} > 0$  il metodo della linearizzazione non è sufficiente per concludere sulla stabilità locale dei punti di equilibrio per  $\ell$  pari.

Quando  $\ell$  è dispari la matrice  $A_e$  diventa

$$A_e = K \begin{bmatrix} 1 & -1 \\ -1 & 1 \end{bmatrix}$$

che ha autovalori  $\lambda_1 = 0$  e  $\lambda_2 = 2K$ . Quindi essendoci un autovalore con  $\text{Re} > 0$  possiamo concludere che i punti di equilibrio per  $\ell$  dispari sono tutti instabili.

c) La dinamica dello sfasamento ha una sola variabile di stato  $x = \varphi$ . Risulta quindi

$$\dot{x} = f(x) \quad \text{con } f(x) = -2K \sin(x)$$

I punti di equilibrio sono tutti e soli gli stati  $x_e$  tali che  $f(x_e) = 0$ . In questo caso

$$f(x_e) = 0 \iff -2K \sin(x_e) = 0$$

Tutti gli stati del tipo  $x_e = \ell \pi$ ,  $\ell \in \mathbb{Z}$ , sono quindi punti di equilibrio.

d) Per studiare la stabilità locale di un punto di equilibrio  $x_e$  devo linearizzare il sistema nell'intorno di  $x_e$  calcolando  $A_e = \left. \frac{\partial f}{\partial x} \right|_{x=x_e}$ . In questo caso

$$A_e = \left. \frac{\partial f}{\partial x} \right|_{x=x_e} = -2K \cos(x)|_{x=\ell\pi} = -2K (-1)^\ell$$

Anche in questo caso quindi dobbiamo distinguere tra i punti di equilibrio per  $\ell$  pari (corrispondenti al caso in cui i due oscillatori sono in fase) e i punti di equilibrio per  $\ell$  dispari (corrispondenti al caso in cui i due oscillatori hanno fase contraria).

Per  $\ell$  pari si ha  $A_e = -2K < 0$ , di conseguenza il sistema linearizzato è asintoticamente stabile e i corrispondenti punti di equilibrio sono localmente asintoticamente stabili.

Per  $\ell$  dispari si ha  $A_e = -2K > 0$ , di conseguenza il sistema linearizzato è esponenzialmente instabile i corrispondenti punti di equilibrio sono localmente instabili.

Si vede quindi che i due oscillatori tendono a sincronizzarsi.